

УДК 534/143

А.Е. БОЖКО; З.А. ИВАНОВА; Е.М. ИВАНОВ**ФУНКЦИОНИРОВАНИЕ ЭЛЕКТРОМАГНИТНЫХ ВИБРОВОЗБУДИТЕЛЕЙ НА НИЗКИХ ЧАСТОТАХ**

В данной работе исследуется проблема построения математических моделей и блок-диаграмм колебаний платформы в дорезонансной и резонансной областях электромагнитных вибровозбудителей. Вибровозбудители широко используются в вибрационных испытательных стендах. Они должны функционировать в широком диапазоне частот (в области низких частот до $2 \div 5$ мм, и высоких - десятые доли мм), особенно в тех случаях, когда необходимо провести испытания (двигателей транспортных средств и др.) в условиях, соответствующих эксплуатационным, так как в этом случае амплитуда колебаний, воздействуя на испытуемые объекты, изменяется в широких пределах.

Ключевые слова: воздушный зазор, амплитуда вибраций, активное сопротивление, индуктивное сопротивление.

Введение. Электромагнитные вибровозбудители (ЭМВ) широко используются в вибрационных испытательных стендах [2], причем они должны функционировать в широком диапазоне частот, особенно в тех случаях, когда необходимо проводить испытания изделий (двигателей транспортных средств и др.) в условиях, эквивалентных эксплуатационным. Амплитуды вибраций, действующих на испытуемые объекты, при этом изменяются в больших пределах (на низких частотах до $2 \div 5$ мм, а на высоких - десятые доли мм), что заставляет проектировщиков ЭМВ выбирать величину воздушного зазора δ ЭМВ, исходя из максимальных значений амплитуд вибраций и предъявления определенных требований к пружинам подвижной части ЭМВ.

Постановка проблемы. Вследствие предположения, что ЭМВ работает в широком интервале изменения амплитуд вибраций x_{a1} массы m , считаем, что величины x_{a1} и δ могут быть сравнимы. Поэтому, при $x_1 = x_{a1} \sin \omega_1 t$, где ω_1 , t - круговая частота и время соответственно; воздушный зазор между якорем и полюсом магнитопровода при $(\delta - x_{a1} \sin \omega_1 t)$ может быть близок к нулю, что вносит существенные изменения в электромагнитные соотношения в ЭМВ. Если $x_{a1} \ll \delta$, что справедливо для высокочастотного диапазона воспроизводимых вибраций, то в этом случае величиной x_{a1} пренебрегаем по сравнению с величиной δ .

На наш взгляд, наиболее важным являются исследования случая $\delta \approx x_{a1}$, что соответствует колебаниям массы в дорезонансной и в самой резонансной областях.

Так как на вход ЭМВ подается электрическое переменное напряжение $U = U_a \sin \omega_2 t$, где ω_2 - круговая частота ($\omega_2 = \omega_1/2$ [2]), то для построения, как математической модели, так и структурной схемы ЭМВ, необходимо тяговое усилие F выразить относительно U и электромагнитных параметров ЭМВ (числа витков обмотки - w , магнитной проницаемости воздушного зазора - μ_0 , площади поперечного сечения полюсов магнитопровода - S , магнитной проводимости - G). Для этого запишем уравнение электрической цепи ЭМВ и воспользуемся законом полного тока [1] с учетом индуктивного сопротивления

$$U = ri + L \frac{di}{dt}; \quad L = w^2 G, \quad (1)$$

при этом будем учитывать изменение воздушного зазора, то есть

$$G = \mu_0 S / (2(\delta - x_1)), \quad (2)$$

где r , $L(\delta - x_1)$ - активное сопротивление и индуктивность соответственно; сопротивление $r = r_1 + r_0$, где r_1 , r_0 - активные сопротивления электрической цепи до зажимов обмотки и собственно провода обмотки соответственно.

Для составления математической модели и структурной схемы воспользуемся операторным методом, нашедшим применение в теории автоматического управления [3].

На основании закона полного тока, индуктивного сопротивления и с учетом изменения воздушного зазора

$$\Phi = iwG = iw \frac{\mu_0 S}{2(\delta - x_1)};$$

$$i(p) = \frac{U(p)}{r + \frac{\mu_0 S p}{2(\delta - x_1)}} = \frac{U(p)(\delta - x_1)}{r(\delta - x_1) + kp},$$

где $k = w^2 \mu_0 S / 2$; $p = d/dt$; Φ - магнитный поток, тогда

$$F = \frac{\Phi^2}{\mu_0 S} = i^2 \frac{k}{2(\delta - x_1)^2} \rightarrow \frac{U^2(p)k}{2[r(\delta - x_1) + kp]^2}. \quad (3)$$

Подставим (3) в дифференциальное уравнение подвижной массы m

$$m \cdot d^2 x / dt^2 + b \cdot dx / dt + cx = F,$$

($m = m_{\text{я}} + m_0$ - общая масса; $m_{\text{я}}$ - масса якоря 2; m_0 - масса испытуемого объекта; b - коэффициент демпфирования; c - коэффициент жесткости; x - перемещение подвижной системы; t - время) с учетом представления в операторной форме получим

$$x(m_1 p^2 + b_1 p + c_1) = U^2 k / (2[r(\delta - x_1) + kp]^2). \quad (4)$$

Преобразуем (4), обозначив $U^2 k / 2 = U_1$. В результате получим

$$W_1(p) [x_1 (r^2 \delta^2 + 2rk \delta k + k^2 p^2) - 2rx_1^2 (r\delta + kp) + x_1^3 r^2] = U_1, \quad (5)$$

где $W_1(p) = m_1 p^2 + b_1 p + c_1$.

Анализируя выражение (5), приходим к построе-

нию структурной схемы без РМ, изображенной на рис. 1, причем приведенные на нем передаточные функции имеют следующий вид

$$W_2(p) = w_2^{-1}(p); \quad W_3(p) = (r^2 \delta^2 + 2rk \delta k + k^2 p^2)^{-1}; \\ W_4(p) = (2r(r\delta + kp))^{-1}; \quad W_5(p) = 1/r^2.$$

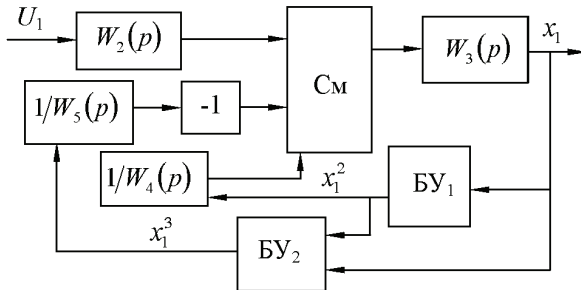


Рисунок 1 – Структурная схема ЭМВ без РМ: где См – сумматор; БУ₁, БУ₂ – блоки умножения; \square – инвертор; $W_2(p)$, $W_3(p)$, $W_4(p)$, $W_5(p)$ – звенья с передаточными функциями

Таким образом, на основании выражения (5) и структурной схемы, изображенной на рис. 1, математическая модель ЭМВ без РМ имеет вид

$$(U^2 k W_2 / 2 + x_1^2 / W_4 - x_1^3 / W_5) W_3 = x_1.$$

Выводы. В ЭМВ без РМ колебания платформы осуществляются под действием сил $U^2 k W_2 / 2$; x_1^2 / W_4 ; $-x_1^3 / W_5$, возникающих в результате возведения в квадрат и умножения на $W_2 k / 2$ задающего напряжения U , создаваемых положительной обратной связью x_1^2 / W_4 и отрицательной обратной связью $-x_1^3 / W_5$.

Если в ЭМВ активное сопротивление (r) значительно меньше индуктивного (L_p), что, в принципе, практически возможно, то, принимая в этом случае $r = 0$, из (5) получаем уравнение вида

$$W_1 x_1 k^2 p^2 = U_1$$

и передаточная функция

$$W(p) = x_1(p) / U_1(p) = 1 / (k^2 p^2 (m_1 p^2 + b_1 p + c_1)),$$

из которой видно, что в этом случае обратные связи, сумматор См исчезают, и система ЭМВ становится разомкнутой.

Список литературы: 1. Бессонов Л. А. Теоретические основы электротехники / Л. А. Бессонов. – М.: Высшая школа, 1978. – 528 с. 2. Вибрации в технике. В 6-ти т. / Под ред. Э. Э. Лавендела. – М.: Машиностроение, 1981. – Т.4. – 510 с. 3. Теория автоматического управления / Под ред. А. В. Нетушила. – М.: Высшая школа, 1976. – 400 с.

Bibliography (transliterated): 1. Bessonov L. A. Teoreticheskie osnovy elektrotehniki. L. A. Bessonov. Moscow: Vysshaya shkola, 1978. 528. Print. 2. Vibracii v tehnikе. In 6 vol. Pod red. E. E. Lavendela. Moscow: Mashinostroenie, 1981. Vol. 4. 510. Print. 3. Teoriya avtomaticheskogo upravleniya. Pod red. A. V. Netushila. Moscow: Vysshaya shkola, 1976. 400. Print.

Поступила (received) 27.10.2015

Відомості про авторів / Сведения об авторах / About the Authors

Божко Александр Евгеньевич, доктор технических наук, профессор, член-корр. НАН Украины, Институт проблем машиностроения им. А.Н. Подгорного НАН Украины

Alexander Bozhko, Doctor of Technical Science, Professor, Corresponding Member of the NAS of Ukraine, Institute of Problems of Mechanical Engineering named after A.N. Podgorny The National Academy of Sciences of Ukraine

Иванова Зоя Александровна, кандидат технических наук, доцент, ст. науч. співр., Институт проблем машиностроения им. А.Н. Подгорного НАН Украины: тел. (+380 572) 94-15-51; e-mail: bozhko@ipmach.kharkov.ua

Ivanova Zoya Aleksandrovna, Candidate of Technical Sciences, Associate Professor, Senior Researcher Assistant Institute of Problems of Mechanical Engineering named after A.N. Podgorny The National Academy of Sciences of Ukraine: phone (+380 572) 94-15-51; e-mail: bozhko@ipmach.kharkov.ua

Иванов Евгений Мартьянович, кандидат технических наук, Харьковский национальный автомобильно-дорожный университет: тел. (+38 057) 707-37-24; e-mail: repositiv@mail.ru

Ivanov Evgeny Martynovich, Candidate of Technical Sciences, Associate Professor Kharkov National Automobile and Highway University: phone (+38 057) 707-37-24; e-mail: repositiv@mail.ru